

ПОВЕРХНОСТНЫЕ МАГНИТОПЛАЗМОНЫ В СТРУКТУРЕ С ДВУМЕРНОЙ И ТРЕХМЕРНОЙ ПЛАЗМОЙ

A. B. Чаплик^{a,b*}

^a Институт физики полупроводников им. А. В. Ржанова Сибирского отделения Российской академии наук
630090, Новосибирск, Россия

^b Новосибирский государственный университет
630090, Новосибирск, Россия

Поступила в редакцию 28 января 2013 г.

Исследуются коллективные колебания двухкомпонентной структуры: плазменного полупространства, на границе которого находится двумерный плазменный слой, в присутствии магнитного поля. Рассмотрены возможные варианты спектров поверхностных магнитоплазмонов для трех основных взаимных ориентаций магнитного поля, волнового вектора и нормали к поверхности. Подробно обсужден случай параллельного границе поля, в котором частота нечетным образом зависит от волнового вектора.

DOI: 10.7868/S0044451013070225

1. ВВЕДЕНИЕ

Поверхностные плазменные волны в магнитоактивной плазме рассматривались в литературе несколько десятилетий назад (см., например, работы [1–4]). Было установлено, что существование и число ветвей незатухающих колебаний зависит от ориентации магнитного поля \mathbf{B} относительно волнового вектора \mathbf{k} и нормали \mathbf{n} к границе плазменного полупространства. В частности, была отмечена интересная особенность плазменного спектра: если векторы \mathbf{B} и \mathbf{k} лежат в плоскости границы и перпендикулярны друг другу (например, отличны от нуля только компоненты n_z, B_y, k_x), то дисперсионные соотношения для поверхностного плазмона различны при разных знаках, но одинаковой абсолютной величине k_x . Авторы работ [3, 4] не комментируют это формальное различие дисперсионных уравнений, хотя проблема представляется довольно нетривиальной: речь фактически идет о физической неэквивалентности направлений «по» и «против» оси x . Этот вопрос будет подробно обсужден в разд. 3. Существенно большим разнообразием и интересными особенностями обладают спектры магнитоплазмонов в структуре, содержащей на поверхности 3D-плазмы двумерный слой подвижных но-

сителей. Последние могут отличаться от объемных частиц величиной эффективной массы или вообще иметь другой закон дисперсии. Одной из возможных реализаций таких структур является топологический изолятор, объем которого легирован электрически активной примесью. В настоящей работе найдены все ветви магнитоплазменных волн в структуре, содержащей 2D- и 3D-плазму, для трех основных геометрий: 1) $\mathbf{B} \parallel \mathbf{n}$, вектор \mathbf{k} направлен произвольно, 2) $\mathbf{B} \parallel \mathbf{k} \perp \mathbf{n}$, 3) $\mathbf{B} \parallel [\mathbf{k}, \mathbf{n}]$. Сначала все результаты выводятся для стандартного закона дисперсии частиц 2D- и 3D-плазмы (но с разными эффективными массами), а затем показано, какие изменения в формулах необходимо провести в случае характерного для топологического изолятора линейного закона дисперсии электронов поверхностного слоя. Ограничимся в этой работе квазистатическим приближением $\omega \ll ck$ (c — скорость света).

2. МАГНИТНОЕ ПОЛЕ ПЕРПЕНДИКУЛЯРНО ГРАНИЦЕ РАЗДЕЛА

Этот случай характеризуется наибольшим числом различных дисперсионных зависимостей. Диэлектрическая проницаемость 3D-плазмы, находящейся в полупространстве $z < 0$ задается матрицей

*E-mail: chaplik@isp.nsc.ru

$$\begin{pmatrix} \varepsilon_{\perp} & i\varepsilon' & 0 \\ -i\varepsilon' & \varepsilon_{\perp} & 0 \\ 0 & 0 & \varepsilon_{\parallel} \end{pmatrix},$$

где

$$\begin{aligned} \varepsilon_{\perp} &= \varepsilon_0 - \frac{\omega_v^2}{\omega^2 - \omega_c^2}, \\ \varepsilon' &= \frac{\varepsilon_c \omega_v^2}{\omega(\omega^2 - \omega_c^2)}, \quad \varepsilon_{\parallel} = \varepsilon_0 - \frac{\omega_v^2}{\omega^2}. \end{aligned} \quad (1)$$

Здесь $\omega_v^2 = 4\pi e^2 N_v / m_v$, ε_0 — фоновая диэлектрическая постоянная области пространства $z < 0$, N_v , m_v — плотность и масса частиц в той же области, ω_c — циклотронная частота 3D-плазмы. В области 3D-плазмы пространственная дисперсия не учитывается ($k r_D \ll 1$, где r_D — дебаевский радиус). Из уравнений $\text{rot } \mathbf{E} = 0$, $\text{div } \mathbf{D} = 0$ следует, что можно положить $\mathbf{E} = -\nabla\varphi$, а φ искать в виде $\varphi_0 \exp(i kx - q|z|)$, и тогда с учетом соотношения $D_i = \varepsilon_{ik} E_k$ получается $q^2 = k^2 \varepsilon_{\perp} / \varepsilon_{\parallel}$. Границное условие имеет вид

$$D_z(z > 0) - D_z(z < 0) = 4\pi\Sigma,$$

где Σ — переменная часть плотности заряда в 2D-слое. Эту величину находим из уравнения непрерывности через друлевскую магнитопроводимость 2D-плазмы:

$$\Sigma = \frac{ie^2 N_s k E_x}{m_s (\omega^2 - \omega_{cs}^2)}, \quad (2)$$

где m_s , N_s и ω_{cs} — соответственно эффективная масса, плотность электронов и циклотронная частота в 2D-слое. Из граничного условия следует закон дисперсии возможных колебательных мод, причем локализованным у поверхности колебаниям соответствуют положительные значения q :

$$\varepsilon_{+} + \varepsilon_{\parallel} \sqrt{\frac{\varepsilon_{\perp}}{\varepsilon_{\parallel}}} = \frac{4\pi N_s e^2 |k|}{m_s (\omega^2 - \omega_{cs}^2)}. \quad (3)$$

Подставляя в (3) компоненты ε_{ik} из (1), окончательно находим дисперсионное уравнение для случая $\mathbf{B} \parallel \mathbf{n}$:

$$\begin{aligned} \varepsilon_{+} + \varepsilon_0 \left(1 - \frac{\omega_p^2}{\omega^2}\right) \left[\frac{(\omega^2 - \omega_c^2 - \omega_p^2)\omega^2}{(\omega^2 - \omega_c^2)(\omega^2 - \omega_p^2)} \right]^{1/2} &= \\ &= \frac{4\pi N_s e^2 |k|}{m_s (\omega^2 - \omega_{cs}^2)}. \end{aligned} \quad (4)$$

Здесь ω_p — частота объемного плазмона. Величина в квадратных скобках равна $\varepsilon_{\perp}/\varepsilon_{\parallel}$ и должна быть

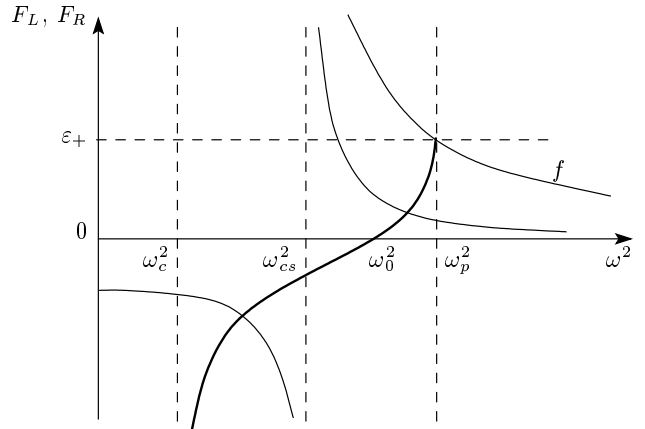


Рис. 1. Качественное исследование уравнения (5). Жирная линия — график левой части $F_L(\omega^2)$, тонкие линии — правой части $F_R(\omega^2)$. Кривая f соответствует точке окончания спектра в случае А2

положительной, чтобы обеспечить положительность q^2 . Как видно, в рассматриваемой геометрии поле плазменной волны затухает вглубь области $z < 0$ без осцилляций (последние возможны при наклонном магнитном поле). Таким образом, незатухающие волны существуют в областях $\omega_c^2 < \omega^2 < \omega_p^2$ (случай А) или $\omega_p^2 < \omega^2 < \omega_c^2$ (случай В) и при $\omega^2 > \omega_c^2 + \omega_p^2$ (случай С). Наличие в уравнении (4) параметра ω_{cs} , относящегося к поверхностному слою, приводит к существованию девяти различных вариантов спектра. Четыре из них соответствуют случаю А и могут давать одну либо две ветви $\omega(k)$. Качественно исследовать все эти случаи и найти асимптотики ветвей можно графоаналитическим методом. С этой целью перепишем уравнение (4) для случая А так, чтобы все множители под радикалом были неотрицательны. Получим

$$\begin{aligned} \varepsilon_{+} - \varepsilon_0 \sqrt{\frac{(\omega_p^2 - \omega^2)(\omega_p^2 + \omega_c^2 - \omega^2)}{\omega^2(\omega^2 - \omega_c^2)}} &= \frac{\alpha |k|}{\omega^2 - \omega_{cs}^2}, \\ \alpha = \frac{4\pi N_s e^2}{m_s}, \quad \omega_c^2 < \omega^2 < \omega_p^2. \end{aligned} \quad (5)$$

На рис. 1 построены графики левой $F_L(\omega^2)$ и правой $F_R(\omega^2)$ частей уравнения (5) для случая $\omega_c^2 < \omega_{cs}^2 < \omega_0^2 < \omega_p^2$, где ω_0^2 соответствует нулю функции $F_L(\omega^2)$. При равных фоновых диэлектрических постоянных ($\varepsilon_0 = \varepsilon_{+}$) $\omega_0^2 = (\omega_p^2 + \omega_c^2)/2$. Упомянутые выше четыре случая получаются перемещением ω_{cs}^2 по оси абсцисс.

Рассмотрим случай А1: $\omega_{cs}^2 < \omega_c^2$. Точка пересечения кривых F_L и F_R существует, пока волновое число k не превзойдет некоторого порогового значения,

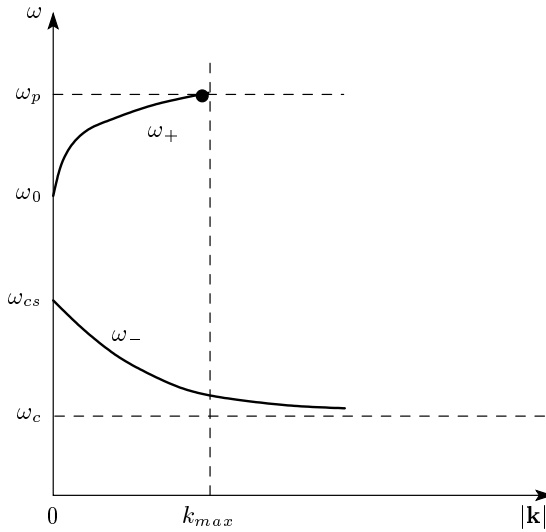


Рис. 2. Спектр магнитоплазмонов для случая А2. Обозначения разъяснены в тексте

при котором $F_R(\omega^2) = \varepsilon_+$, т. е. точкой окончания спектра является k_{max} :

$$k_{max} = \varepsilon_+(\omega_p^2 - \omega_{cs}^2)/\alpha. \quad (6)$$

При $k \rightarrow 0$ соответствующий корень уравнения (5) стремится к ω_0 по линейному закону, так что в случае А1 имеем следующие асимптотики (верхняя кривая на рис. 2):

$$\begin{aligned} k \rightarrow 0, \quad \omega &\approx \omega_0 + \text{const} \cdot |k|, \\ \text{const} &= \frac{\alpha}{F'_L(\omega_0^2)(\omega_0^2 - \omega_{cs}^2)} > 0; \\ k \rightarrow \infty, \quad \omega &\approx \omega_p[1 - \text{const} \cdot (k_{max} - k)^2], \\ \text{const} &= \frac{\alpha(\omega_p^2 - \omega_c^2)}{2\omega_c^2(\omega_p^2 - \omega_{cs}^2)} > 0. \end{aligned} \quad (7)$$

Подобным образом нетрудно рассмотреть остальные возможности. Случай А2: $\omega_c^2 < \omega_{cs}^2 < \omega_0^2 < \omega_p^2$ (именно ему соответствует рис. 1). Имеются два корня уравнения (5). Один корень, соответствующий отрицательному участку F_R , образует нижнюю ветвь ω_- и существует при всех k , а сама частота ω с ростом k монотонно убывает от ω_{cs} до ω_c . Асимптотически при $k \rightarrow \infty$

$$\omega_- \approx \omega_c + \text{const}/k^2, \quad \text{const} > 0.$$

Второе решение ω_+ аналогично рассмотренному выше решению в случае А1: ветвь начинается с ω_0 при $k = 0$ и оканчивается при $k = k_{max}$, где ω_+ принимает значение ω_p . Две эти ветви изображены на рис. 2.

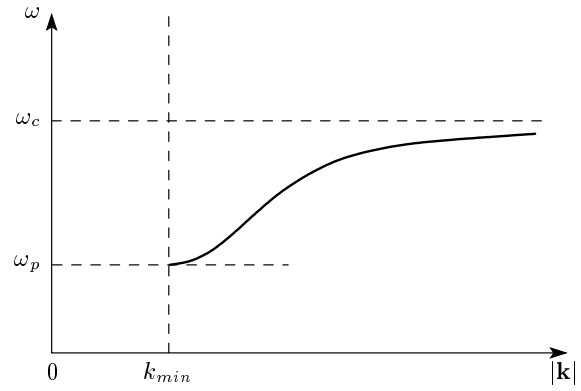


Рис. 3. В случае В1 спектр ограничен со стороны малых $|k|$

Случай А3: $\omega_c^2 < \omega_0^2 < \omega_{cs}^2 < \omega_p^2$. Здесь полная аналогия со случаем А2, лишь точки ω_{cs} и ω_0 на рис. 2 следует поменять местами.

Случай А4: $\omega_{cs} > \omega_p$. При всех k имеется лишь одна ветвь. Поведение ее аналогично ω_- в случае А3: частота монотонно убывает от ω_0 до ω_c : $\omega(k \rightarrow \infty) = \omega_c + O(1/k^2)$.

Переходим к ситуации $\omega_p^2 < \omega^2 < \omega_c^2$.

Случай В1: $\omega_{cs} < \omega_p$. Из уравнения (4) теперь следует:

$$\varepsilon_+ + \varepsilon_0 \sqrt{\frac{(\omega^2 - \omega_p^2)(\omega_c^2 + \omega_p^2 - \omega^2)}{\omega^2(\omega_c^2 - \omega^2)}} = \frac{\alpha|k|}{\omega^2 - \omega_{cs}^2}. \quad (8)$$

Для существования корня (единственного) должно выполняться неравенство

$$|k| \geq k_{min} = (\omega_p^2 - \omega_{cs}^2)\varepsilon_+/\alpha, \quad (9)$$

т. е. существует точка начала ветви, в которой $\omega = \omega_p$. Вблизи нее кривая имеет нулевой наклон:

$$\omega^2 \approx \omega_p^2 + \frac{\alpha^2 \omega_p^2 (\omega_c^2 - \omega_p^2)}{(\omega_p^2 - \omega_{cs}^2)^2 \omega_c^2 \varepsilon_0^2} (|k| - k_{min})^2. \quad (10)$$

При увеличении $|k|$ частота стремится к ω_c снизу, $\omega \approx \omega_c - O(1/k^2)$ (рис. 3).

Случай В2: $\omega_p < \omega_{cs} < \omega_c$. Спектр начинается с $k = 0$. При этом $\omega = \omega_c$, частота растет с увеличением $|k|$ сначала линейно, а затем асимптотически стремится к ω_c так же, как в случае В1.

Случай В3: $\omega_{cs} > \omega_c$. Корней нет.

Наконец, в области $\omega^2 > \omega_p^2 + \omega_c^2$ могут быть две возможности.

Случай С1: $\omega_{cs}^2 < \omega_p^2 + \omega_c^2$. Нет решений при малых k и ω . Спектр начинается при

$$|k| = k_{min} = (\omega_c^2 + \omega_p^2 - \omega_{cs}^2)\varepsilon_+/\alpha,$$

частота в этой точке минимальна, а затем возрастает при малых $|k| - k_{min}$ по квадратичному закону: $\omega - \omega_c \propto (|k| - k_{min})^2$. При $k \rightarrow \infty$ получаем двумерный магнитоплазмон в 2D-слое:

$$\omega^2 \approx \omega_{cs}^2 + \frac{4\pi e^2 N_s |k|}{m_s(\varepsilon_0 + \varepsilon_+)}. \quad (11)$$

Случай С2: $\omega_{cs}^2 > \omega_p^2 + \omega_c^2$. Спектр начинается с нулевых k , $\omega(0) = \omega_{cs}$, рост частоты сначала линейный, затем — согласно формуле (11). Эта формула для данного случая могла бы быть интерполяционной для всех $|k|$, однако наклон $\omega(k)$ в нуле (не приводится ввиду громоздкости выражения) больше, чем на бесконечности.

В заключение этого раздела напомним, что в отсутствие магнитного поля рассматриваемая структура имеет всегда одну локализованную у поверхности моду плазменных колебаний. В квазистатической области ее закон дисперсии соответствует «сдвинутому» 2D-плазмону [5]:

$$\omega_{2D}^2 = \frac{\omega_0^2}{\varepsilon_0 + \varepsilon_+} + \frac{\alpha |k|}{\varepsilon_0 + \varepsilon_+}, \quad (12)$$

где первое слагаемое описывает поверхностный, а второе — двумерный плазмон на границе сред с диэлектрическими проницаемостями ε_0 и ε_+ . Этот результат сразу следует из уравнения (5) при $\omega_c = \omega_{cs} = 0$.

3. МАГНИТОЕ ПОЛЕ ПАРАЛЛЕЛЬНО ПОВЕРХНОСТИ И ПЕРПЕНДИКУЛЯРНО \mathbf{k}

Пусть $\mathbf{B} \parallel y$, $\mathbf{k} \parallel x$, $\mathbf{n} \parallel z$. Матрица ε_{ik} принимает вид

$$\begin{pmatrix} \varepsilon_\perp & 0 & i\varepsilon' \\ 0 & \varepsilon_\parallel & 0 \\ -i\varepsilon' & 0 & \varepsilon_\perp \end{pmatrix}.$$

Как и в предыдущем разделе, поля не зависят от y , и из условия $\operatorname{div} \mathbf{D} = 0$ следует $q^2 = k^2$.

В граничное условие теперь входит друлевская проводимость 2D-плазмы в параллельном поверхности магнитном поле. Она равна таковой в отсутствие поля, т. е. величину Σ из уравнения (2) надо брать при $\omega_{cs} = 0$. Нормальная к поверхности компонента вектора индукции в области $z < 0$ равна

$$D_z = -\varepsilon' k \varphi_0 - \varepsilon_\perp |k| \varphi_0, \quad (13)$$

откуда следует дисперсионное уравнение

$$\varepsilon_+ + \varepsilon_\perp + \operatorname{sgn}(\varepsilon') = \alpha |k| / \omega^2. \quad (14)$$

Подставляя в (14) выражения для ε' и ε_\perp , получим

$$1 - \frac{\tilde{\omega}_p^2}{\omega(\omega + \omega_c \operatorname{sgn}(k))} = \frac{\alpha |k|}{\omega^2(\varepsilon_0 + \varepsilon_+)}, \quad (15)$$

$$\tilde{\omega}_p^2 \equiv \frac{\omega_0^2}{\varepsilon_0 + \varepsilon_+}.$$

Таким образом, формально получаются разные дисперсионные уравнения для разных знаков k . Покажем, прежде всего, что кубическое относительно ω уравнение (15) имеет всегда три вещественных корня. Избавляясь от знаменателей и перегруппировав члены, можно привести (15) к виду

$$(\omega^2 - \gamma |k|)(\omega + \omega_c \operatorname{sgn}(k)) = \omega \tilde{\omega}_p^2, \quad (16)$$

$$\gamma = \alpha / (\varepsilon_0 + \varepsilon_+).$$

Левая часть (16) имеет три вещественных нуля, из которых один всегда отличается знаком от двух других, а при $\omega \rightarrow \pm\infty$ левая часть ведет себя как ω^3 . Правой части (16) как функции ω соответствует прямая с положительным наклоном, проходящая через начало координат. Очевидно, что эта прямая трижды пересекает график левой части, что означает существование трех ветвей магнитоплазменных колебаний. Две из них остаются также в отсутствие 2D-слоя. Значения соответствующих частот при $k = 0$ даются формулами

$$\omega_{1,2} = -\operatorname{sgn}(k) \frac{\omega_c}{2} \pm \sqrt{\frac{\omega_c^2}{4} + \omega_p^2}. \quad (17)$$

При $k \rightarrow \infty$ частоты этих ветвей стремятся к $\pm\omega_{2D}$ из уравнения (12). Третий корень дает ветвь ω_3 , частота которой всегда лежит между ω_1 и ω_2 . Асимптотическое поведение ω_3 определяется формулами

$$k \rightarrow 0, \quad \omega_3 \approx -\gamma k \omega_c / \tilde{\omega}_p^2, \quad (18)$$

$$|k| \rightarrow \infty, \quad \omega_3 \approx \omega_c \operatorname{sgn}(k) + \omega_c \tilde{\omega}_p^2 / \gamma k, \quad (19)$$

т. е. $\omega_3(k)$ есть нечетная функция k . Точно так же, выбирая должным образом знаки перед корнем в (17), можно представить разрывные ветви ω_1 и ω_2 в виде нечетных функций k (см. рис. 4), что соответствует симметрии дисперсионного уравнения (15): одновременное изменение знаков ω и k сохраняет вид уравнения. В случае же нормального к поверхности поля дисперсионное уравнение (4) инвариантно относительно независимой смены знаков частоты и волнового вектора. Подчеркнем, что пересечение

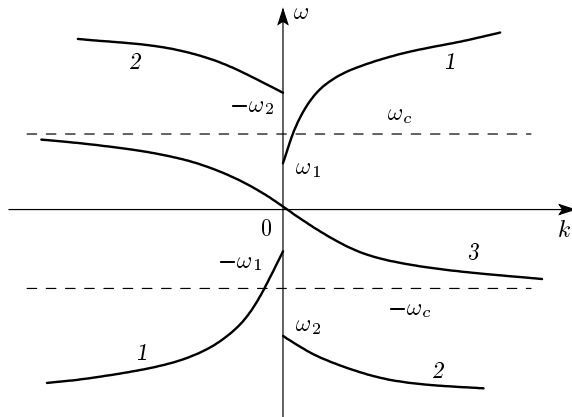


Рис. 4. Дисперсионные кривые для геометрии $\mathbf{B} \parallel [\mathbf{n}k]$

ветвей на рис. 4 невозможно, так как графоаналитический анализ показывает, что кратный корень уравнения (16) может возникнуть лишь при $\tilde{\omega}_p^2 = 0$. Таким образом, формальное различие дисперсионных уравнений для разных знаков k_x приводит в результате к нечетной функции $\omega(k)$.

При исследовании поглощения электромагнитных волн поверхностными плазмами используется дифракционная решетка (grating structure), помещенная на поверхность структуры. В этом случае плазмы взаимодействуют со стоячими волнами, так что асимметрия двух направлений (k_x и $-k_x$) не проявляется. Ее можно, однако, обнаружить в процессах неупругого рассеяния света. Подбирая направления падающего и рассеянного фотонов, можно управлять величиной и знаком k_x , т. е. переданного импульса. При смене знака k_x изменится также знак ω — переданной частоты, т. е. в спектре рассеянного света при фиксированной передаче импульса каждая ветвь магнетоплазмонов будет представлена либо только стоксовым, либо только антостоксовым спутником. Легко видеть, что изменение знака магнитного поля эквивалентно изменению знака k_x .

4. МАГНИТНОЕ ПОЛЕ ПАРАЛЛЕЛЬНО \mathbf{k}

В этом случае неравные нулю компоненты тензора ε_{ik} : $\varepsilon_{xx} = \varepsilon_{\parallel}$, $\varepsilon_{yy} = \varepsilon_{zz} = \varepsilon_{\perp}$, $\varepsilon_{yz} = -\varepsilon_{zy} = i\varepsilon'$, но недиагональные компоненты не входят в дисперсионное уравнение. В этом смысле ситуация аналогична рассмотренной в разд. 2 ($\mathbf{B} \parallel \mathbf{n}$). Для декремента затухания волны в направлении оси z получается $q^2 = k^2 \varepsilon_{\parallel} / \varepsilon_{\perp}$, а дисперсионное уравнение при положительных ε_{\parallel} , ε_{\perp} совпадает с (4) за исключением

правой части, которая теперь не содержит ω_{cs} (поле параллельно $2D$ -слою):

$$\varepsilon_+ + \varepsilon_0 \left(1 - \frac{\omega_p^2}{\omega^2 - \omega_c^2} \right) \sqrt{\frac{(\omega_p^2 - \omega^2)(\omega_c^2 - \omega^2)}{\omega^2(\omega^2 - \omega_c^2 - \omega_p^2)}} = \\ = \frac{\alpha|k|}{\omega^2}. \quad (20)$$

Отсутствие в уравнении (20) параметра ω_{cs} существенно уменьшает число различных вариантов спектра по сравнению со случаем $\mathbf{B} \parallel \mathbf{n}$. Имеется две ветви: частота одной лежит в интервале $[\omega_c, \omega_p]$, причем существенно различаются случаи $\omega_c < \omega_p$ и $\omega_c > \omega_p$. Во второй ветви $\omega^2 > \omega_c^2 + \omega_p^2$. Случай $\omega_c^2 < \omega^2 < \omega_p^2$ фактически идентичен рассмотренному ранее случаю А1 с той лишь разницей, что точка окончания спектра дается выражением $k_{max} = \varepsilon_+ \omega_p^2 / \alpha$. Если выполняется условие $\omega_p^2 < \omega_c^2$, то воспроизводится случай В1, но начало кривой $\omega(k)$ находится в той же точке $\varepsilon_+ \omega_p^2 / \alpha$, которая теперь является минимальным значением $|k|$. Во второй ветви начало спектра — при $k_{min} = \varepsilon_+ (\omega_c^2 + \omega_p^2) / \alpha$, вблизи этого значения

$$(\omega - \sqrt{\omega_c^2 + \omega_p^2}) \sim (k - k_{min})^2,$$

а при $|k| \rightarrow \infty$ получается переход к двумерному плазмону $\omega^2 \approx \alpha|k| / (\varepsilon_0 + \varepsilon_+)$. Для всех трех рассмотренных геометрий в нулевом магнитном поле уравнения (5), (16) и (20) приводят, естественно, к общему результату (12). Это оптическая мода двухкомпонентной системы: поверхностный плазмон в полу-пространстве и $2D$ -плазмон в слое на его границе.

5. ЛИНЕЙНЫЙ СПЕКТР ЭЛЕКТРОНОВ $2D$ -СЛОЯ

В литературе, посвященной топологическим изоляторам, указывается, что многие такие материалы имеют (вследствие легирования) конечную плотность объемных носителей [6–8]. Таким образом, реализуется система « $2D + 3D$ »-плазма, в которой носители в $2D$ -слое описываются линейным спектром $W = v_0 p$, где W — энергия, p — модуль двумерного импульса, v_0 — постоянная материала. Учет этого обстоятельства изменяет граничные условия для электрической индукции \mathbf{D} . Во-первых, выражение для поверхностной проводимости частиц с линейным спектром отличается от использованного выше друлевского выражения. Во-вторых, из-за магнитоэлектрического эффекта в топологических изоляторах (см., например, [9, 10]) величина \mathbf{D} линейно связана как с электрическим, так и с магнитным

полем. Поправка к частоте поверхностного плазмона за счет упомянутого эффекта имеет относительный порядок $e^2/\hbar c$ [9], поэтому учитываться не будет. Изменение же проводимости $2D$ -слоя (по сравнению со случаем параболической дисперсии) следует учесть, очевидно, только для случая $\mathbf{B} \parallel \mathbf{n}$. Что касается плазменных колебаний самого $2D$ -слоя, то их закон дисперсии $\omega(k)$ не претерпевает существенных изменений в случае линейного одночастичного спектра, хотя качественно меняется зависимость плазменной частоты от концентрации двумерных носителей. Этот вывод содержится в работе [11] и недавно подтвержден (в длинноволновом пределе) более строгим рассмотрением в [12].

Спектр частицы с гамильтонианом $v_0\mathbf{n}[\sigma, \mathbf{p}]$ в перпендикулярном магнитном поле дается, как известно, формулой

$$W_N = \pm v_0 \sqrt{\frac{2\hbar|eB|}{c}} N, \quad N = 0, 1, 2, \dots \quad (21)$$

В квазиклассической области $N \gg 1$ энергия $W = v_0 p$ и частота

$$\omega_{cs} = \frac{1}{\hbar} \frac{\partial W}{\partial N} = \frac{eBv_0}{cp}, \quad (22)$$

т. е. в обычном выражении для циклотронной частоты надо провести замену $m_s \rightarrow p/v_0$. Теперь в том же квазиклассическом пределе решим бесстолкновительное кинетическое уравнение в магнитном поле для частиц с дисперсией $v_0 p$:

$$\dot{f} + \frac{\partial f}{\partial \mathbf{p}} \left(\frac{e}{c} [\mathbf{v}, \mathbf{B}] + e\mathbf{E}_0 e^{-i\omega t} \right) = 0. \quad (23)$$

Здесь \mathbf{E}_0 — напряженность однородного электрического поля, $\mathbf{v} = v_0 \mathbf{p}/p$. Обычным образом находим неравновесную добавку f_1 :

$$f_1 = \frac{i\epsilon\omega v_0 p_x/p - (ev_0)^2 B p_y k p^2}{(ev_0 B/cp)^2 - \omega^2} f'_0 E_0, \quad (24)$$

где f_0 — фермиевские числа заполнения, поле \mathbf{E}_0 направлено вдоль оси x . Отсюда следует для компоненты тока j_x в случае вырожденного электронного газа:

$$j_x = \frac{e^2 v_0}{p_F} \frac{i\omega N_s}{\omega^2 - (eBv_0/cp_F)^2} E_0. \quad (25)$$

Здесь p_F — импульс Ферми, N_s — плотность электронов $2D$ -слоя. Из уравнений (21) и (25) следует, что во всех полученных выше формулах для дисперсии магнитоплазмонов учет линейного спектра частиц $2D$ -слоя сводится просто к замене $m_s \rightarrow p_F/v_0$.

Итак, в данной работе рассмотрены все возможные варианты спектров поверхностных магнитоплазмонов в структуре, содержащей двумерную и трехмерную плазмы, для трех основных взаимных ориентаций магнитного поля, волнового вектора и нормали к поверхности. Наиболее интересным представляется случай $\mathbf{B} \parallel [\mathbf{n}, \mathbf{k}]$, для которого частота становится нечетной функцией волнового вектора, что может проявиться в спектрах комбинационного рассеяния.

Работа выполнена при финансовой поддержке РФФИ (грант № 11-02-12142) и в рамках Программ РАН.

ЛИТЕРАТУРА

1. М. А. Гинзбург, ЖЭТФ **34**, 1635 (1958).
2. В. И. Пахомов, К. Н. Степанов, ЖТФ **37**, 1393 (1967).
3. K. W. Chiu and J. J. Quinn, Phys. Rev. B **5**, 4707 (1972).
4. J. J. Brion, R. F. Wallis, A. Hartstein, and E. Burstein, Phys. Rev. Lett. **28**, 1455 (1972).
5. А. В. Чаплик, Письма в ЖЭТФ **95**, 718 (2012).
6. A. Karch, arXiv:1104.4125v2.
7. L. Fu and C. L. Kane, Phys. Rev. B **76**, 045302 (2007).
8. D. Hsieh, D. Qian, L. Wray et al., Nature (London) **452**, 970 (2008).
9. X. L. Qi, T. L. Huges, and Zhang, Phys. Rev. B **78**, 195424 (2008).
10. M. Essin, J. E. Moore, and D. Vanderbilt, Phys. Rev. Lett. **102**, 146805 (2009).
11. S. Das Sarma and E. H. Hwang, Phys. Rev. Lett. **102**, 206412 (2009).
12. D. K. Efimkin, Yu. E. Lozovik, and A. A. Sokolik, arXiv:1110.4023v1.